

УДК 549.51: 553.412

**НЕКОТОРЫЕ РАЗНОВИДНОСТИ КВАРЦА
ЭПИТЕРМАЛЬНЫХ СЕРЕБРЯНЫХ ПРОЯВЛЕНИЙ
ТАС-КЫСТАБЫТСКОГО МАГМАТИЧЕСКОГО КОМПЛЕКСА (ЯКУТИЯ):
СТРОЕНИЕ АГРЕГАТОВ, ИК-СПЕКТРЫ, РЕНТГЕНОЛЮМИНЕСЦЕНЦИЯ**

O.A. СУСТАВОВ

*Уральский государственный горный университет
620144, Россия, г. Екатеринбург, ул. Куйбышева, 30; e-mail: olsustavov@mail.ru*

Изучены разновидности кварца серебряного рудопоявления Аид и серебросодержащих жил золоторедкокометалльного месторождения Эргелях. Приведены новые данные о строении агрегатов гребенчатого кварца и не описанного ранее позднего крупнозернистого кварца. Проанализированы инфракрасные и рентгенолюминесцентные спектры. Рассмотрены переходы в процессе роста гребенчатого кварца от мелких нерасщепленных призельбандовых кристаллов к вытянутым по оси с более широким расщепленным частям индивидов, а затем к прозрачным головкам кристаллов. Образование прозрачных головок кристаллов гребенчатого кварца сменяется выделением слабодымчатого крупнозернистого нерасщепленного кварца, заполняющего осевые части жил. Для гребенчатого кварца типична OH (Li)-полоса поглощения в ИК-спектре, свойственная радиационному цитриновому кварцу, и рентгенолюминесценция в области 390–415 нм. Более поздний нерасщепленный крупнокристаллический кварц характеризуется отсутствием OH (Li)-полосы поглощения в ИК-спектре и рентгенолюминесценцией в области 530–535 нм.

Ключевые слова: Восточная Якутия; серебряное оруденение; гребенчатый кварц; расщепление кварца; инфракрасные спектры кварца; рентгенолюминесценция кварца.

**SOME VARIETIES OF QUARTZ AT THE EPITHERMAL SILVER OCCURRENCES
OF TAS-KYSTABYT MAGMATIC BELT (YAKUTIA):
TEXTURES, IR-SPECTRA, X-RAY LUMINESCENCE**

O.A. SUSTAVOV

*Ural state mining university
620144, Russia, Ekaterinburg, Kuibisheva str., 30; e-mail: olsustavov@mail.ru*

Varieties of quartz at silver occurrence Aid and silver veins of gold-rare metals deposit Ergelyah are studied. New data on the textures of comb quartz and earlier not documented the late coarse-grained quartz is presented; the IR- and X-ray luminescence spectra are analyzed. The transitions in growth process of comb quartz from the near-selvedge small unsplit crystals to wider split parts of the individuals, elongated along the *c*-axis, and then to transparent heads of crystals is considered. The formation of transparent heads of comb quartz crystals is replaced by crystallization of coarse-grained unsplit faintly smoky quartz, filling the axial parts of veins. The OH (Li) absorption band is typical in the IR-spectrum of comb quartz, which is usual to radiation citrine quartz, and the X-ray luminescence is in the field of 390–415 nm. Later unsplit coarse-grained quartz is characterized by the absence of OH (Li) absorption band in the IR-spectrum, and X-ray luminescence in the field of 530–535 nm.

Key words: Eastern Yakutia, silver deposits, comb quartz, quartz splitting, IR-spectra of quartz, X-ray luminescence of quartz.

Тас-Кыстабытский позднемезозойский магматический пояс расположен в юго-восточной части Верхояно-Колымской орогенной области и состоит из крупного Тарынского субвулкана и прерывистой цепи гранитоидных массивов, одним из которых является Эргеляхский массив [14]. В данном магматическом поясе известен ряд серебряных проявлений, из которых рассмотрены рудопоявление Аид и участок развития серебросодержащих

жил на золоторедкокометалльном месторождении Эргелях.

Рудопоявление Аид (эпимеральное серебряное оруденение серебросурьмяного типа [3]) залегает среди гиперстеновых дацитов Тарынского субвулканического массива. В рудных телах, которые приурочены к брекчиям и прожилково-жильным зонам и окружены ореолами аргиллизированных, адуляризованных и окварцованных пород,

выделены следующие минеральные ассоциации: зонально-полосчатая кварц-адуляровая с пиритом, халькопирит-сфалерит-галенитовая, фрейбергит-пиаргиритовая, кварц-карбонатная и кварц-дикитовая [3].

Золоторедкометалльное месторождение Эргелях расположено в пределах одноименного позднеюрско-ранненеокомового [15] гранитоидного массива и окружающих массив контактовых роговиков, образовавшихся по верхнетриасовым песчано-глинистым породам. Серебросодержащие кварцевые жилы (со сфалеритом, халькопиритом, галенитом и фрейбергитом) на месторождении Эргелях приурочены к поздним разрывным нарушениям в гранитоидах и контактовых роговиках [8, 15].

На рассматриваемых серебряных проявлениях распространён гребенчатый [8, 9, 13] (крустикационный, дроздовидный, шестовато-гребенчатый, сферолитовый [2, 15]) и халцедоновидный [2, 6, 8, 9] (криптозернистый [2, 15], тонкозернистый [6, 15]) жильный кварц. Гребенчатый кварц этих рудопроявлений отчасти охарактеризован с использованием рентгеноструктурного, атомно-абсорбционного и других видов анализов в [2, 8–10, 15]. В настоящей статье приведены новые данные о строении агрегатов гребенчатого кварца и не описанного ранее позднего крупнозернистого кварца, а также анализируются ИК- и рентгенолюминесцентные спектры этих разновидностей кварца.

Строение агрегатов кварца

Гребенчатый кварц (K_1) образован вытянутыми вдоль оси c индивидами, ориентированными субперпендикулярно обрастающим поверхности (параллельно-шестоватые агрегаты первого типа, по Д.П. Григорьеву [8–10]). Длина индивидов K_1 на рудопроявлении Аид достигает 2–4 см, на месторождении Эргелях — 12 см (фотографии образцов

гребенчатого кварца из рудопроявления Аид и месторождения Эргелях см. [2, 10, 15]). Характерно расщепленное строение индивидов, проявляющееся в наличии в их боковых частях систем слабо разориентированных между собой тонких субиндинидов, удлиненных преимущественно поперёк граней ромбоэдров [9] (рис. 1, 2).

Рост агрегатов кварца K_1 обычно начинается с возникновения на стенках жильных трещин мелких нерасщепленных и не замутненных флюидными включениями кристалликов кварца. Слагающие основной объём друзы более крупные индивиды образуются в процессе геометрического отбора при росте таких кристалликов. При этом переход в процессе роста агрегата от не расщепленных мелких призальбандовых кристалликов к крупным расщепленным индивидам нередко сопровождается резким усилением захвата кристалло-

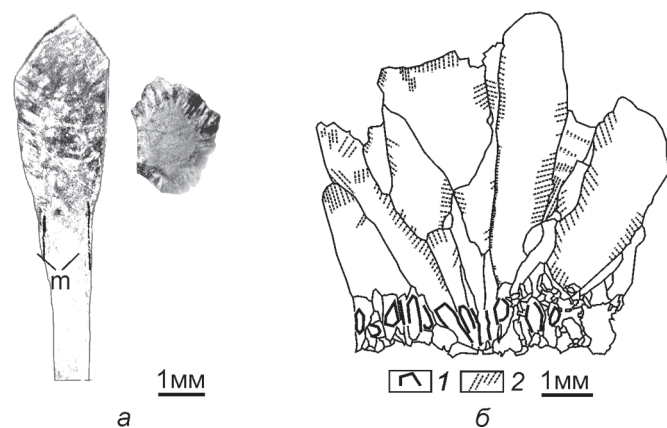


Рис. 1. Гребенчатый кварц K_1 из рудопроявления Аид: a – из халцедон-кварцевой жилы [13] (слева – продольное сечение индивида, m – скопления флюидных включений по зонам роста гексагональной призмы, без анализатора; справа – поперечное сечение верхней части индивида, по периферии кристалла – расщепление, никогда скрещены); b – из кварцевой жилы с фрейбергитом (1 – зоны роста, интенсивно замутненные флюидными включениями, 2 – субиндиниды расщепления)

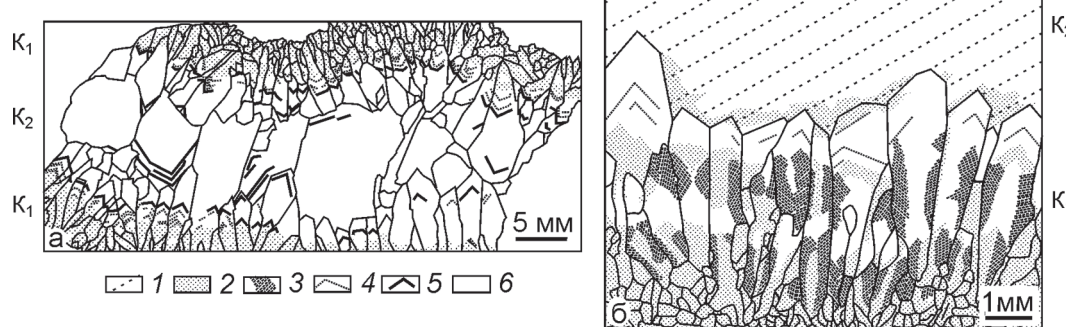


Рис. 2. Постепенный (а) и резкий (б) переходы от призальбандового гребенчатого кварца K_1 к осевому крупнозернистому кварцу K_2 , месторождение Эргелях: 1 – направление оси c в индивиде K_2 ; б – распределение флюидных включений: 2 – однородное (б) и однородное в сочетании с приуроченным к границам субиндинидов расщеплением (а), 3 – по границам субиндинидов расщепления (б), 4 – по «тонким» зонам роста (а), 6 – включений мало

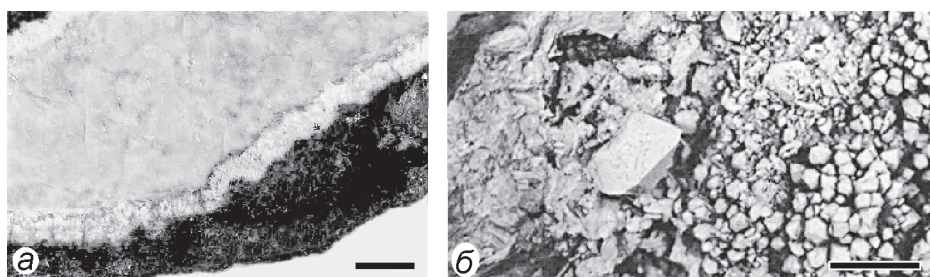


Рис. 3. Кварц К₁ и К₂ в штуфах: *а* — каймы К₁ вдоль стенок и крупнокристаллический К₂ в осевой части жилы (чёрное — вмещающий роговик); *б* — крупный кристалл К₂ (в центре), нарастающий в друзовой полости на щетку мелких кристаллов К₁ (напыление оксидом магния); длина масштабного отрезка 1 см

образующих растворов. В результате на мелких призальбандовых кристалликах возникают внешние зоны роста (преимущественно по гексагональной призме), интенсивно замутненные флюидными включениями (рис. 1).

В расщепленных боковых частях индивидов кварца К₁ первичные флюидные включения (двухфазовые, с температурами гомогенизации 180—240° [2, 8, 10]) образуют преимущественно прямолинейные полосовидные скопления («линии»), ориентированные в направлении вытянутости субиндивидов расщепления. Захват кварцобразующих растворов с образованием таких линий включений обычно происходил в процессе роста агрегата кварца К₁ периодически. В связи с этим участки развития данных флюидных включений прослеживаются в агрегате в виде полос, параллельных обрастающей поверхности (рис. 2, *б*). В осевых частях индивидов, часто относительно свободных от расщепления и флюидных включений, нередко наблюдаются отдельные зоны роста по ромбоэдру, фиксируемые кварцевыми присыпками [10].

Головки замутнённых флюидными включениями индивидов кварца К₁ в сереброносных жилах месторождения Эргелях обычно сложены прозрачным нерасщепленным кварцем. Перед образованием прозрачных головок в индивидах кварца К₁ нередко возникают интенсивно насыщенные флюидными включениями «толстые» зоны роста по ромбоэдру (рис. 2, *а*). Внутри прозрачных головок индивидов кварца могут присутствовать лишь отдельные тонкие зоны роста с очень мелкими флюидными включениями. Следует отметить отсутствие здесь кварцевых присыпок, которые отмечаются по зонам роста ранее образовавшихся частей индивидов. На поверхностях раздела смежных прозрачных головок индукционные грани совместного роста обычно более правильные и более чётко параллельные между собой, чем те же грани на поверхностях раздела между индивидами в ранее обраставшейся основной части агрегата [10].

В сереброносных жилах месторождения Эргелях образование прозрачных головок кристаллов кварца К₁ иногда сменяется выделением слабодымчатого крупнозернистого нерасщеплённого

кварца К₂, заполняющего осевые части жил (рис. 2, 3). В некоторых случаях размер индивидов К₂ в осевой части жилы достигает десятков миллиметров (при поперечнике индивидов призальбандового К₁, не превышающем 1—2 мм), в связи с чем один индивид кварца К₂ может нарастать на десятки смежных головок кристаллов кварца К₁ (рис. 2, *б*; 3, *а*).

В некоторых жилах встречаются отдельные огранённые кристаллы К₂, нарастающие в друзовых полостях на призальбандовые щетки кварца К₁ (рис. 3, *б*). Кристаллы К₂ значительно крупнее (до 10 мм в поперечнике) индивидов ранее выделившегося К₁, часто зональные, сложены слабодымчатым стекловидным кварцем и обладают гексагонально-призматическим (короткопризматическим, сходным с наблюдающимся у многих аметистов) габитусом.

ИК-спектры и рентгенолюминесценция кварца

Съёмка ИК-спектров проводились в Институте геологии и геохимии УрО РАН С.П. Главатских на ИК-Фурье-спектрометре Spectrum One фирмы Perkin Elmer, при комнатной температуре; препараты — полированные с двух сторон монокристалльные пластинки кварца толщиной 1,5—3 мм. Спектры гребенчатого кварца К₁ из серебросодержащих жил рудопроявления Аид и месторождения Эргелях характеризуются наличием в той или иной степени выраженных полос поглощения 3380, 3430 и 3315 cm^{-1} , а также резкой полосы поглощения 3480 cm^{-1} . На ИК-спектре кварца К₂ полоса поглощения 3480 cm^{-1} отсутствует (рис. 4, *а*).

Рентгенолюминесцентные измерения в области 350—550 нм проведены в Институте геологии и геохимии УрО РАН С.Л. Вотяковым и В.Я. Крохалевым по методике, описанной в работе [1]. Спектры рентгенолюминесценции гребенчатого кварца К₁ из рудопроявления Аид (рис. 4, *б*) и из серебросодержащих жил месторождения Эргелях (рис. 4, *в*) характеризуются четко выраженным максимумом 410—415 нм (осложненным слабым подмаксимумом, близким к 530—535 нм). Кварцу К₂ присущ иной характер рентгенолюминесценции (рис. 4, *в*):

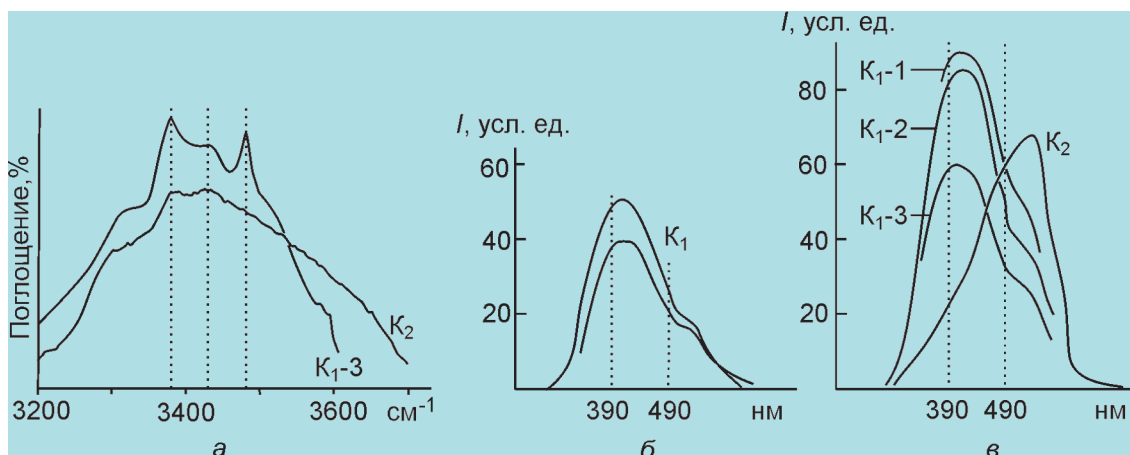


Рис. 4. Инфракрасные (а, пунктир – $3380, 3430, 3480 \text{ см}^{-1}$) и рентгенолюминесцентные (б, в) спектры кварца (а, в – Эргелях, б – Аид): K_1 – гребенчатый кварц (K_1 , б – рис. 1, б; K_{1-1} – рис. 2, б; 3, а; K_{1-2} – нижняя часть индивида длиной 4 см, K_{1-3} – верхняя часть того же индивида); K_2 – нарастающий на K_1 слабодымчатый крупнокристаллический кварц, рис. 2, б; 3, а; для наглядности интенсивность рентгенолюминесцентных спектров K_{1-1} и K_2 увеличена в 3,3 раза

отсутствие свечения с длиной волны $410–415 \text{ нм}$ и чётко выраженный максимум в области $530–535 \text{ нм}$ (то же отмечено у кварца прозрачной головки одного из кристаллов K_1 месторождения Эргелях).

Обсуждение результатов и выводы

Гребенчатый кварц K_1 , типичный для многих эптермальных месторождений, образует сложенные расщепленными индивидами параллельно-шестоватые агрегаты первого типа, по Д.П. Григорьеву [10]. Переходы в процессе роста индивидов K_1 от призальбандового зародышевого нерасщеплённого кварца к основному расщеплённому кварцу, а затем к нерасщеплённым прозрачным головкам кристаллов нередко фиксируются резким усилением захвата кварцем кристаллообразующих растворов с образованием зон роста, интенсивно насыщенных флюидными включениями. В осевых частях жил прозрачные головки кристаллов в ряде случаев сменяются индивидами относительно прозрачного крупнозернистого нерасщеплённого кварца K_2 .

Полосы поглощения $3380, 3430$ и 3315 см^{-1} на ИК-спектрах изученного гребенчатого кварца K_1 указывают на присутствие в нём $[\text{AlO}_4/\text{H}^+]^0$ примесных центров – групп ОН, компенсирующих избыток положительного заряда при замещении ионов Si^{4+} на ионы Al^{3+} . Полоса поглощения 3480 см^{-1} связана с $[\text{AlO}_4/\text{LiH}]^0$ центрами – с колебаниями групп ОН, возмущенных межузловыми ионами Li^+ [4, 5].

Свойственные кварцу K_1 полосы рентгенолюминесценции в области $390–415 \text{ нм}$ связываются нами, вслед за рядом авторов, с наличием в кварце алюмолитиевых $[\text{AlO}_4/\text{Li}^+]^0$ центров [11]. В данном случае такой интерпретации отвечает высокое содержание лития в гребенчатом кварце K_1 по результатам спектрохимических и атомно-абсорбционных анализов: в кварце K_1 рудопроявления Аид –

$16 \cdot 10^{-4} \%$ лития и более $0,3 \%$ алюминия (лаборатория ПГО «Уралкварцсамоцветы»), $411 \text{ г/т Li}_2\text{O}$ [2]; в кварце K_1 месторождения Эргелях – $325 \text{ г/т Li}_2\text{O}$ [3]. Повышенные содержания лития и наличие связанных с $[\text{AlO}_4/\text{LiH}]^0$ центрами интенсивных полос 3480 см^{-1} в ИК-спектрах позволяют отнести кварц K_1 к радиационному цитриновому кварцу [4, 5].

Поздний крупнозернистый кварц K_2 характеризуется ИК-спектром и кривой рентгенолюминесценции, резко отличающимися от таковых более раннего кварца K_1 . Это указывает на отсутствие в кварце K_2 свойственных кварцу K_1 литийсодержащих примесных центров и на более низкое, чем в K_1 , содержание в кварце K_2 лития [4, 5], т. е. свидетельствует об иных условиях отложения кварца K_2 .

Кристаллизация кварца K_2 , в отличие от образования гребенчатого кварца K_1 , происходила, по-видимому, из более «спокойных» [10] растворов, менее пересыщенных кремнеземом – сходных с теми, из которых происходил рост прозрачных головок кристаллов K_1 . Прозрачные головки кристаллов кварца K_1 образовывались в данных условиях, что следует, в частности, из отмеченной выше более четко выраженной правильности и параллельности индукционных граней на поверхностях раздела между прозрачными головками по сравнению с подобными гранями на поверхностях раздела между индивидами в основной части агрегата K_1 [10]. Этому соответствует и упомянутое выше отсутствие в прозрачных головках кварцевых присыпок по зонам роста – такие присыпки (свидетельствующие о «неспокойной» кристаллизации) наблюдаются, как указано выше, лишь по зонам роста в ранее образовавшихся основных частях индивидов кварца K_1 .

Отложение кварца K_2 в сереброносных жилах месторождения Эргелях можно, по-видимому, сопоставить с образованием на ряде золотосеребря-

ных месторождений позднего крупнозернистого аметистовидного кварца [16]. Такой вывод следует как из позднего возраста K_2 в жилах, так и из некоторых черт сходства кварца K_2 с аметистами. К таким чертам, вместе с подобием формы кристаллов кварца K_2 форме кристаллов некоторых аметистов, можно отнести наличие у кварца K_2 свойственной

ряду аметистов [7] рентгенолюминесценции в области 530—535 нм. Необходимо также указать, что свойственная кварцу K_2 и в целом редко встречающаяся [1] рентгенолюминесценция в области 530—535 нм типична для кварца золотосурьмянных месторождений Адыча-Тарынского зоны к северу от данного района [12].

ЛИТЕРАТУРА

- Вотяков С.Л., Крохалев В.Я., Пуртов В.К., Краснова А.А. Люминесцентный анализ структурного несовершенства кварца. Екатеринбург: УИФ «Наука», 1993. 70 с.
- Гамянин Г.Н. Минералого-генетические аспекты золотого оруденения Верхояно-Колымских мезоид. М.: ГЕОС, 2002. 222 с.
- Гамянин Г.Н., Горячев Н.А., Бортников Н.С., Аникина Е.Ю. Типы серебряного оруденения Верхояно-Колымских мезоид // Тихоокеан. геол. 2003. № 6. С. 113–126.
- Кузьмина М.А., Пунин Ю.О., Мошкин С.В., Зиборрова Т.А. Примесный состав и метрика решетки кристаллов кварца гидротермальных жил Урала // Зап. Российской минер. общ-ва. 1996. № 2. С. 79–88.
- Павлишин В.И. Типоморфизм кварца, слюд и полевых шпатов в эндогенных образованиях. Киев: Наукова думка, 1983. 232 с.
- Рудич К.Н. Магматизм и особенности тектонического строения хребта Сарычева. М.: Госгеолтехиздат, 1959. 184 с.
- Серебренников А.И., Таращан А.Н. Люминесцентные свойства аметиста // Конституция и свойства минералов. 1973. № 7. С. 111–116.
- Сустанов О.А. Типы жильного кварца Эргеляхского золото-редкометального месторождения в Восточной Якутии // Минералогия и петрография Урала. Межвуз. науч. темат. сборник. Свердловск: Изд-во УПИ, 1978. С. 17–21.
- Сустанов О.А. Серебряная минерализация и некоторые особенности жильного кварца (Тарынский субвуликанический массив, Восточная Якутия) // Изв. вузов. Геология и разведка. 1990. № 1. С. 32–35.
- Сустанов О.А. Расщепленный кварц из месторождения Эргелях (Восточная Якутия) // Минералог. журнал. 1990. № 1. С. 66–71.
- Сустанов О.А. Кварц грейзенового вольфрамитового месторождения Беккем (Восточная Якутия): ИК-спектры, рентгено- и термолюминесценция // Зап. Российской минер. общ-ва. 2007. № 3. С. 104–113.
- Сустанов О.А. Рентгенолюминесценция кварца золото-сурьмянных месторождений Восточной Якутии // Типоморфные минералы и минеральные ассоциации — индикаторы масштабности природных и техногенных месторождений и качества руд. Матер. Всероссийск. научн. конф. Годичн. собр. РМО. Екатеринбург: ИГГ УрО РАН, 2008. С. 191–193.
- Сустанов О.А. Халцедон-кварцевая жила на эпимеральном серебряном рудопроявлении Аид (Тарынский субвуликанический массив, Восточная Якутия) // XX Всероссийск. научн. конф. «Урал. минералог. школа-2014». Сборник статей. Екатеринбург: ИГГ УрО РАН, 2014. С. 235–239.
- Тектоника, геодинамика и металлогенез территории Республики Саха (Якутия). М.: МАИК «Наука/Интерperiодика», 2001. 571 с.
- Условия зарождения и эволюции гранитоидных золоторудно-магматических систем в мезоидах Северо-Востока Азии / Г.Н. Гамянин, Н.А. Горячев, А.Г. Бахарев и др. Магадан, 2003. 196 с.
- Leavitt E.D., Arehart G.B. Alteration, geochemistry, and paragenesis of the Midas epithermal gold-silver deposit, Elko County, Nevada // Geological Society of Nevada Symposium 2005: Window to the World. Reno, Nevada, 2005. P. 563–627.